

**ПОЛУЧЕНИЕ ГЕТЕРОСТРУКТУР
С ДВУМЕРНЫМ ЭЛЕКТРОННЫМ ГАЗОМ
МЕТОДОМ СТАНДАРТНОЙ ЖИДКОФАЗНОЙ ЭПИТАКСИИ**

Голубев Л. В., Крещук А. М., Новиков С. В., Полянская Т. А.,
Савельев И. Г., Сайдашев И. И.

Сформулированы рекомендации по параметрам слоев, составляющих гетероструктуры с двумерным электронным газом (2МЭГ), обеспечивающие возможность исследования свойств 2МЭГ в широком диапазоне температур. По данным рекомендациям методом стандартной жидкофазной эпитаксии выращены гетероструктуры $n\text{-Al}_x\text{Ga}_{1-x}\text{As}/p\text{-GaAs}$ и $n\text{-InP}/p\text{-In}_{0.53}\text{Ga}_{0.47}\text{As}$. Экспериментально показано, что благодаря оптимально подобранным параметрам слоев получен нешунтированный в широком температурном интервале (4.2–77 K) 2МЭГ.

Введение. Селективно легированные гетероструктуры (СЛГС) с двумерным электронным газом (2МЭГ) перспективны для создания сверхбыстро действующих полевых транзисторов и фотодетекторов [1, 2]. Помимо этого, в настоящее время ведутся работы по созданию воспроизводимого эталона Ома на основе квантового эффекта Холла, наблюдаемого в 2МЭГ на гетерогранице (ГГ) при низких температурах [3]. Каждое из этих направлений предъявляет специфические требования к структурам с 2МЭГ. Для продвижения в любом из них необходимо исследовать свойства 2МЭГ на ГГ, являющемся рабочим элементом всех приборов. Кроме того, практическое применение структур с 2МЭГ ограничивается тем, что основные методы, используемые для создания СЛГС (молекулярно-лучевая эпитаксия и газофазная эпитаксия из металлоорганических соединений) являются сложными и дорогостоящими. В связи с этим целью данного исследования является выработка и экспериментальная проверка рекомендаций для получения методом стандартной жидкофазной эпитаксии (ЖФЭ) гетероструктур, пригодных для изучения свойств 2МЭГ в широком диапазоне температур.

Наиболее распространенными гетеропарами для создания СЛГС являются $\text{Al}_x\text{Ga}_{1-x}\text{As}/\text{GaAs}$ и $\text{InP}/\text{In}_{0.53}\text{Ga}_{0.47}\text{As}$. Энергетические диаграммы СЛГС на основе этих гетеропар схематически показаны на рис. 1. Электроны из широкозонного слоя переходят в потенциальную яму на ГГ и при достаточно резкой гетерогранице образуют 2МЭГ. Преимущества структур с 2МЭГ связаны с большой плотностью носителей заряда на гетерогранице n_s и малой концентрацией рассеивающих центров в узкозонном слое. Для того чтобы рассмотреть требования к отдельным слоям, составляющим гетероструктуру, необходимо знать зависимость концентрации двумерных носителей на ГГ n_s от концентрации примеси в широкозонном N_1 и узкозонном N_2 слоях гетероструктуры. Методика расчета этих зависимостей в приближении вырожденного электронного газа в треугольной яме на ГГ приведена в *Приложении*. Результаты этого расчета показаны на рис. 2, а в виде зависимостей n_s от концентрации доноров в широкозонном слое N_{v1} при различных значениях N_{A2} (концентрации акцепторов в узкозонном слое) для СЛГС $n\text{-Al}_x\text{Ga}_{1-x}\text{As}/p\text{-GaAs}$ при $x=0.3$ (сплошные линии) и $x=0.2$ (штриховые) и на рис. 2, б — для $n\text{-InP}/p\text{-In}_{0.53}\text{Ga}_{0.47}\text{As}$. В изотипных $n-n$ -гетероструктурах на зависимости n_s (N_{v1}) практически не влияет

концентрация примеси в узкозонном слое и они близки к зависимостям 1 (рис. 2, а, б), полученным в приближении $N_{A2}=0$.

При выработке рекомендаций для выращивания слоев, составляющих СЛГС, будем исходить из следующих требований к структуре: а) существование 2МЭГ на ГГ с концентрацией $n_s \geq 1 \cdot 10^{11} \text{ см}^{-2}$; б) отсутствие при низкой температуре (4.2 К) паразитной проводимости по слоям, шунтирующей проводимость двумерного канала; в) снижение шунтирования 2МЭГ при высоких температурах (~ 77 К). Далее приводятся и обосновываются параметры слоев гетероструктуры, обеспечивающие выполнение этих требований.

Широкозонный слой СЛГС (AlGaAs , InP)

а) Как видно из рис. 2, а, б, концентрация двумерных электронов может превысить значение $1 \cdot 10^{11} \text{ см}^{-2}$ при $N_{n1} \geq 1 \cdot 10^{16} \text{ см}^{-3}$.

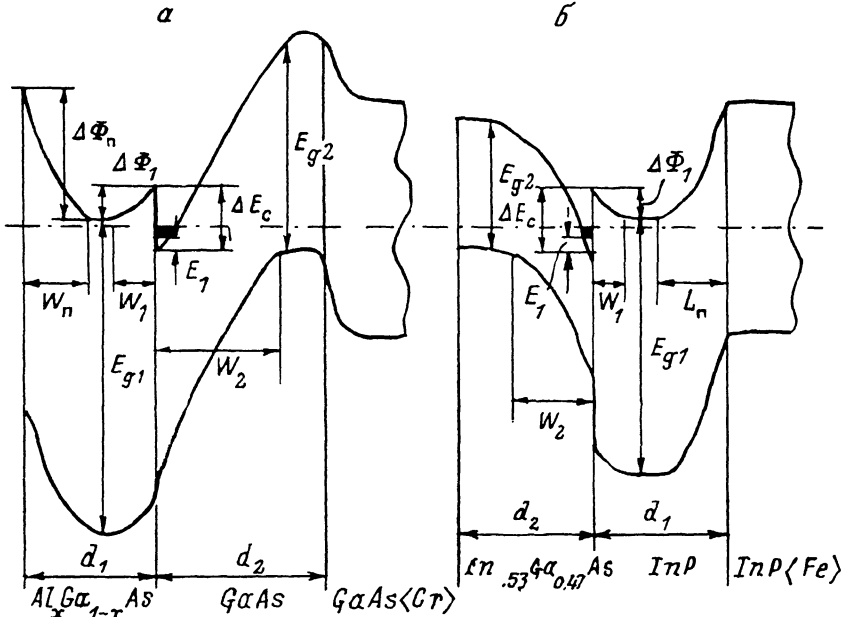


Рис. 1. Зонные диаграммы селективно легированных гетероструктур с двумерным электронным газом.

а — $n\text{-Al}_{x}\text{Ga}_{1-x}\text{As}/p\text{-GaAs}$, б — $p\text{-In}_{0.53}\text{Ga}_{0.47}\text{As}/n\text{-InP}$.

б) При легировании полупроводника мелкой донорной примесью вымораживание электронов и вследствие этого малая проводимость трехмерного слоя при низкой температуре проявляются при концентрациях, удовлетворяющих эмпирическому критерию перехода от металлической к диэлектрической проводимости [4]:

$$N_D^{1/2} a_B < 0.26, \quad (1)$$

где a_B — эффективный боровский радиус. Используя (1), получаем для $\text{Al}_{0.3}\text{Ga}_{0.7}\text{As}$ $N_{n1} < 4.7 \cdot 10^{16} \text{ см}^{-3}$ и для InP $N_{n1} < 3.6 \cdot 10^{16} \text{ см}^{-3}$. Для глубоких примесей (например, Si в AlGaAs) выражение (1) не имеет силы. Поэтому при выполнении критерия (1) для мелкой примеси слой можно легировать глубокими донорами до значительно больших концентраций ($\sim 10^{18} \text{ см}^{-3}$ для Si в AlGaAs) при отсутствии заметной проводимости при низких температурах.

в) Подбором толщины слоя можно добиться отсутствия проводимости по широкозонному слою как при низкой, так и при высокой температурах даже при невыполнении критерия (1). Для этого необходимо, чтобы толщина слоя d_1 не превышала d_x — критическую толщину, при которой весь слой «проткнут» обедненными областями.

Для AlGaAs, исходя из рис. 1, а, можно записать

$$d_x = W_1 + W_n = \left(\frac{2x}{qN_1} \right)^{1/2} (\Delta\Phi_1^{1/2} + \Delta\Phi_n^{1/2}), \quad (2)$$

где W_1 , W_n — толщины областей пространственного заряда, связанные с изгибом зоны проводимости у ГГ $\Delta\Phi_1$ и у поверхности полупроводника $\Delta\Phi_n$ соответственно. Используя расчет, приведенный в Приложении для $\Delta\Phi_1$, а также принимая $\Delta\Phi_n = 0.8$ эВ [5], можно рассчитать зависимость критической толщины d_x от концентрации примеси в слое N_1 . Эта зависимость для $x=0.3$ приведена на рис. 2, а (кривая 5). Она свидетельствует о том, что при увеличении

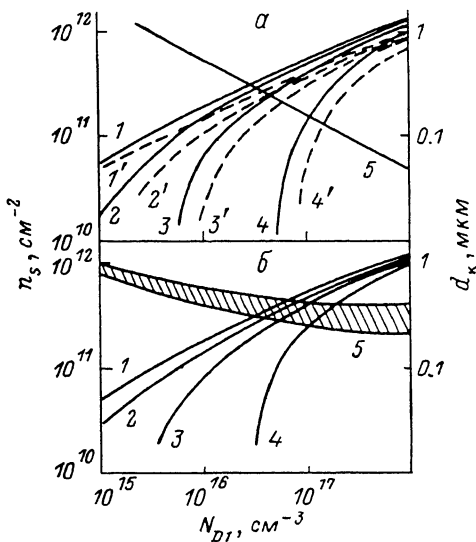


Рис. 2. Расчетные зависимости критической толщины широкозонного слоя (5) и концентрации двумерных носителей на гетерогранице от концентрации доноров в широкозонном слое гетероструктуры при различной концентрации акцепторов в узкозонном слое.

N_{A2} , см^{-3} : 1, 1' — 0, 2, 2' — $1 \cdot 10^{14}$, 3, 3' — $1 \cdot 10^{15}$, 4, 4' — $1 \cdot 10^{16}$. а — $n\text{-Al}_x\text{Ga}_{1-x}\text{As}/p\text{-GaAs}$ для $x=0.3$ (1—4) и $x=0.2$ (1'—4'); б — $p\text{-In}_{0.55}\text{Ga}_{0.45}\text{As}/n\text{-InP}$ (1—4).

N_1 от $1 \cdot 10^{16}$ до $1 \cdot 10^{18}$ см $^{-3}$ d_x уменьшается от 0.5 мкм до 500 Å. В случае InP выражение для d_x записывается в несколько ином виде:

$$d_x = W_1 + L_n, \quad (3)$$

где L_n — толщина переходной области от полуизолирующей подложки InP<Fe> к слою InP n -типа. Эта толщина определяется разными причинами, но одной из основных является высокий коэффициент диффузии атомов железа в фосфиде индия $\sim 10^{-13}$ см $^2/\text{с}$ при 640 °C [6]. За стандартные времена роста слой $L_n \sim 0.2 \div 0.4$ мкм будет компенсирован за счет диффузии Fe. Зависимость d_x от N_1 на основе выражения (3) приведена на рис. 2, б (кривая 5). Видно, что при $N_1 > 1 \cdot 10^{17}$ см $^{-3}$ критическая толщина стремится к величине L_n , и незначительное уменьшение толщины слоя ($\sim 10\%$) относительно d_x приведет к полному отсутствию электронов в 2МЭГ. Известно, что по стандартным методикам ЖФЭ сложно получить слой с заданными параметрами толщиной, меньшей 0.1 \div 0.2 мкм, и выдержать толщину слоя на уровне, лучшем 10 %. Поэтому, учитывая данные на рис. 2, а, б, получаем, что концентрация доноров в слоях AlGaAs и InP не должна превышать величину $\sim 10^{17}$, т. е. $N_1 \leqslant 10^{17}$ см $^{-3}$.

Таким образом, для создания ЖФЭ СЛГС для исследования 2МЭГ в широком диапазоне температур необходимо, чтобы концентрация доноров в широкозон-

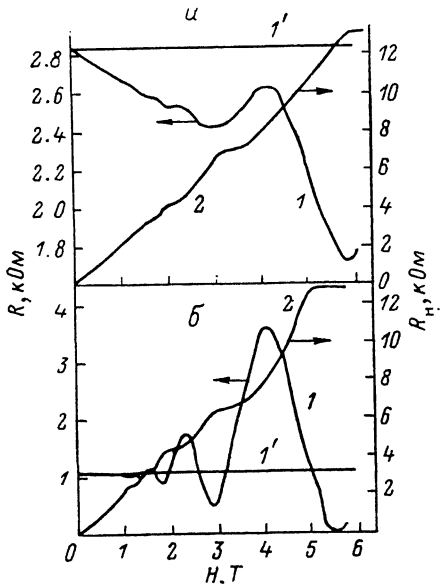


Рис. 3. Зависимость сопротивления квадрата пленки (1, 1') и холловского сопротивления (2) от магнитного поля при $T = -4.2$ К для двух гетероструктур. а — AlGaAs/GaAs, б — InGaAs/InP. Магнитное поле перпендикулярно (1, 2) и параллельно (1') гетерогранице.

а — AlGaAs/GaAs, б — InGaAs/InP. Магнитное поле перпендикулярно (1, 2) и параллельно (1') гетерогранице.

ном слое такой структуры N_{v_1} лежала в диапазоне от $1 \cdot 10^{16}$ до $1 \cdot 10^{17} \text{ см}^{-3}$. При этом толщина слоя AlGaAs определяется концентрацией N_{v_1} : d_1 (мкм) $\leqslant 0.5 [N_{v_1} (\text{см}^{-3})/10^{16}]^{-0.5}$, и в отмеченном диапазоне концентраций N_{v_1} критическая толщина изменяется от 0.5 до 0.15 мкм.

Для InP толщина также определяется концентрацией доноров d_1 (мкм) $\leqslant (0.2 \div 0.4) + 0.19 [N_{v_1} (\text{см}^{-3})/10^{16}]^{-0.5}$ и лежит в диапазоне от 0.6 до 0.25 мкм. Необходимо отметить, что эти рекомендации носят приближенный характер, так как изгиб зоны у поверхности слоя AlGaAs, а также коэффициент диффузии Fe в InP недостаточно хорошо известен.

Узкозонный слой СЛГС (GaAs, $\text{In}_{0.53}\text{Ga}_{0.47}\text{As}$)

а) Из рис. 2 видно, что концентрация 2МЭГ сильно зависит от концентрации акцепторов в узкозонном слое *p*-типа и практически не зависит от концентрации доноров в узкозонном слое *n*-типа. При этом в случае материала *n*-типа $n_s \sim 10^{11} \text{ см}^{-2}$ может быть достигнута практически при любой концентрации примеси N_{v_2} , а в случае *p*-типа такая концентрация 2МЭГ обеспечивается при $N_{A2} \leqslant 0.1 N_{v_1}$.

б) Выражение (1) дает существенно разные условия для отсутствия проводимости при низкой температуре для слоев *n*- и *p*-типа проводимости. Для *n*-типа слоев необходимо, чтобы $N_{v_2} < 1.8 \cdot 10^{16} \text{ см}^{-3}$ (GaAs) и $3.3 \cdot 10^{15} \text{ см}^{-3}$ ($\text{In}_{0.53}\text{Ga}_{0.47}\text{As}$). Для материала *p*-типа критерий (1) выполняется вплоть до $N_{A2} \sim 10^{18} \text{ см}^{-3}$, т. е. шунтированием по слою *p*-типа можно пренебречь.

в) Обсуждая вопрос о шунтировании 2МЭГ при высокой температуре, необходимо отметить, что проводимость слоев *n*-типа существенно выше, чем слоев *p*-типа во всем диапазоне температур, так как подвижность дырок существенно ниже, чем подвижность электронов. Кроме того, энергия ионизации мелких акцепторов E_I значительно (примерно в 10 раз) превышает энергию ионизации мелких доноров, и условие вымораживания носителей $kT < E_I$ для дырок выполняется при значительно более высоких температурах.

Таким образом, оптимальным для получения требуемых СЛГС является выращивание узкозонного слоя *p*-типа проводимости с концентрацией акцепторов $N_{A2} \leqslant 0.1 N_{v_1}$. Другими словами, концентрация акцепторов в слоях GaAs и InGaAs должна быть порядка $10^{15} \div 10^{16} \text{ см}^{-3}$ и ниже. Толщина слоя узкозонного материала не является критическим параметром при выполнении поставленных выше требований и выбирается исходя из технологической целесообразности.

Далее в статье приведены результаты экспериментальной проверки приведенных выше рекомендаций.

Методика. Для создания вышеописанных типов структур мы использовали широко распространенный метод ЖФЭ. Получение слоев InP и AlGaAs с указанными параметрами этим методом не представляет существенных проблем. Сложнее обстоит дело с получением методом ЖФЭ эпитаксиальных слоев InGaAs и GaAs *p*-типа проводимости с низкой концентрацией носителей заряда. Известен ряд способов создания подобных слоев. Так, например, для GaAs — это эпитаксия в кварцевых кассетах [7], эпитаксия в графитовых кассетах при больших потоках водорода при высоких температурах и использование длительных отжигов растворов-расплавов [8], а также использование легирования раствора-расплава редкоземельными элементами или изовалентными примесями (висмутом) [9, 10]. При выборе методики создания слоя *p*-типа проводимости мы руководствовались двумя основными принципами: чтобы данный способ, во-первых, обладал достаточной воспроизводимостью, во-вторых, не требовал существенного усложнения технологической оснастки и методики получения по сравнению со стандартными для ЖФЭ [11].

Для получения слоев GaAs была выбрана технология, объединившая два вышеописанных способа — использование потоков водорода $\sim 10 \div 13 \text{ л/ч}$ и выращивание из растворов-расплавов, в качестве растворителя в которых использовался чистый висмут. Это позволило обеспечить воспроизводимое получение слоев *p*-типа GaAs с концентрацией носителей $10^{14} \div 10^{15} \text{ см}^{-3}$. На основе таких слоев GaAs были получены структуры с 2МЭГ. Рост проводился на полуизолирующих подложках GaAs с ориентацией (100) в стандартной кассете

поршневого типа [11]. Толщины слоев GaAs $4 \div 6$ мкм, слоя $\text{Al}_x\text{Ga}_{1-x}\text{As}$ — $0.2 \div 0.5$ мкм, $x \approx 0.23$.

Для получения слоев InGaAs *p*-типа проводимости с низкой концентрацией носителей заряда использовалось легирование растворов-расплавов редкоземельным элементом — самарием, что позволило воспроизведимо получать слои с концентрацией дырок $10^{14} \div 10^{15}$ см $^{-2}$. Структуры с 2МЭГ выращивались на полуизолирующих подложках InP с ориентацией (100) в стандартных кассетах сдвигового типа [11]. Толщины слоев составляли соответственно для InP $\sim 0.5 \div 0.6$, для $\text{In}_{0.47}\text{Ga}_{0.53}\text{As}$ — $\sim 4 \div 6$ мкм.

На основе гетероструктур стандартными методами фотолитографии изготавливались образцы для гальваномагнитных измерений в форме двойного креста.

Экспериментальные результаты. Полученные структуры *n-AlGaAs/p-GaAs* и *n-InP/p-InGaAs* оценивались с точки зрения сформулированных выше требований, предъявляемых к СЛГС с 2 МЭГ.

а) Для определения наличия в них 2МЭГ проводились гальваномагнитные измерения при гелиевых температурах. На рис. 3, а для системы AlGaAs/GaAs приведены зависимости сопротивления R и холловского сопротивления R_H от магнитного поля, перпендикулярного ГГ H_{\perp} , а также сопротивления структуры в магнитном поле, параллельном ГГ H_{\parallel} . На рис. 3, б показаны эти же зависимости для гетероперехода на основе InP/InGaAs. Из рис. 3 видно, что для обеих систем в поле H_{\perp} отчетливо наблюдаются осцилляции Шубникова—де-Гааза (ОШГ), в то время как в поле H_{\parallel} магнитосопротивления не наблюдается. Это свидетельствует об отсутствии орбитального движения электронов

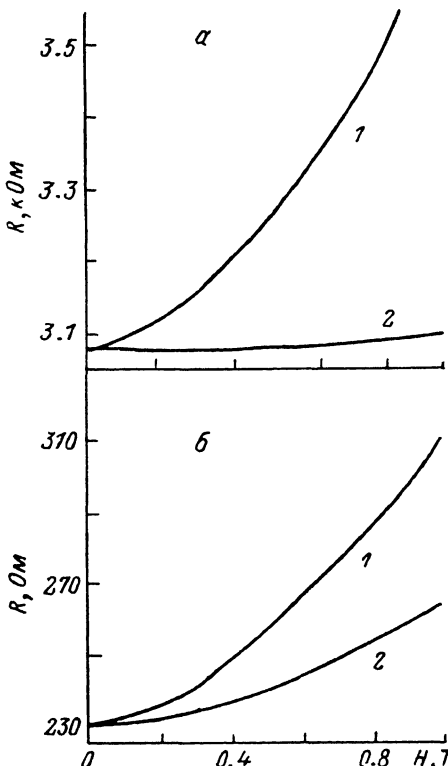


Рис. 4. Зависимость сопротивления структур InGaAs/InP от магнитного поля, перпендикулярного (1) и параллельного (2) гетерогранице при $T=77$ К.

а — структура, полученная на основе предложенных в работе рекомендаций, б — структура с узкозонным слоем InGaAs *n*-типа проводимости.

в плоскости, перпендикулярной границе раздела, т. е. говорит о двумерном характере их движения. Концентрация двумерных электронов n_s при $T=4.2$ К для образцов AlGaAs/GaAs составляла $(2.9 \div 4.3) \cdot 10^{11}$ см $^{-2}$ при подвижности $\mu = (0.7 \div 1.6) \cdot 10^4$ см $^2/\text{В} \cdot \text{с}$. В случае гетеропереходов на основе InP/InGaAs $n_s = (1.6 \div 4.5) \cdot 10^{11}$ см $^{-2}$, $\mu = (1.1 \div 4.0) \cdot 10^4$ см $^2/\text{В} \cdot \text{с}$.

б) Одним из важнейших факторов, влияющих на возможность изучения и использования электрофизических свойств 2МЭГ, как уже говорилось выше, является наличие паразитной проводимости, шунтирующей двумерный канал. В полученных структурах благодаря оптимально подобранным параметрам слоев такая проводимость отсутствует. Об этом говорят следующие экспериментальные факты:

- отсутствие магнитосопротивления в H_{\parallel} (рис. 3);
- хорошее совпадение концентрации 2МЭГ, найденной по периоду ОШГ, с концентрацией, полученной из холловских измерений;
- отрицательное фоновое магнитосопротивление во всем диапазоне H_{\perp} , т. е. отсутствие положительного магнитосопротивления, свидетельствующего о существовании нескольких сортов носителей с различной подвижностью;

— линейная зависимость R_H от магнитного поля, кроме участков-плато, соответствующих минимумам ОШГ и характерных для режима квантового эффекта Холла (КЭХ). Значения R_H на плато соответствуют значениям $h/e^2 i$ (i — фактор заполнения) с точностью поправок, связанных с необращением в нуль диагональных компонент тензора сопротивления, в минимумах ОШГ, что также свидетельствует об отсутствии шунтирования.

Следует отметить, что КЭХ и подвижность электронов $\mu = 4.0 \cdot 10^4 \text{ см}^2/\text{В}\cdot\text{с}$ в случае структур InP/InGaAs, полученных методом ЖФЭ, наблюдались впервые.

в) На рис. 4, а приведены результаты измерений магнитосопротивления для структуры $n\text{-InP}/p\text{-InGaAs}$ при $T=77 \text{ К}$. Сопротивление не изменяется в поле H_{\parallel} (рис. 4, а, кривая 2), что свидетельствует об отсутствии паразитной проводимости, шунтирующей 2МЭГ. Положительное магнитосопротивление в поле H_{\perp} объясняется температурным размытием фермиевской ступеньки при $T=77 \text{ К}$. В отличие от этого данные для образца $n\text{-InP}/n\text{-InGaAs}$, приведенные на рис. 4, б, свидетельствуют о наличии проводимости, шунтирующей двумерный канал. Аналогичная картина для $n\text{-AlGaAs}/n\text{-GaAs}$ наблюдалась в работе [12].

Выводы. Сформулированные рекомендации по параметрам слоев, составляющих гетероструктуры с 2МЭГ (толщина, степень легирования и тип проводимости), дают возможность исследовать свойства 2МЭГ в широком диапазоне температур. По данным рекомендациям методом стандартной ЖФЭ выращены гетероструктуры $n\text{-Al}_x\text{Ga}_{1-x}\text{As}/p\text{-GaAs}$ и $n\text{-InP}/p\text{-In}_{0.53}\text{Ga}_{0.47}\text{As}$. Результаты гальваномагнитных измерений показали, что благодаря оптимально подобранным параметрам получен нешунтированный в широком температурном интервале ($4.2 \div 77 \text{ К}$) 2МЭГ. Качество этих структур характеризуется высокой подвижностью 2МЭГ для InP/InGaAs, полученных ЖФЭ ($\mu = 4.0 \cdot 10^4 \text{ см}^2/\text{В}\cdot\text{с}$ при 4.2 К) и первым наблюдением КЭХ на таких структурах.

Приложение

Для расчета концентрации 2МЭГ на ГГ для структур, энергетические диаграммы которых приведены на рис. 1, будем исходить из закона нейтральности, который запишем в следующем виде:

$$N_1 W_1 = n_s + N_2 W_2. \quad (\text{П. 1})$$

Здесь и далее индексы 1 и 2 соответствуют широкозонному и узкозонному слоям СЛГС, $W_1 = (2x_1 \Delta\Phi_1 / qN_1)^{1/2}$ — ширина области пространственного заряда (ОПЗ) в широкозонном слое у ГГ. Для величины изгиба зоны проводимости широкозонного слоя у ГГ $\Delta\Phi_1$ можно записать

$$\Delta\Phi_1 \approx \Delta E_c - E_1 - (E_F - E_1), \quad (\text{П. 2})$$

где E_c — разрыв зоны проводимости, E_1 — положение дна первой подзоны размерного квантования, E_F — энергия Ферми. В предположении треугольной потенциальной ямы на гетерогранице можно записать $E_1 = \gamma n_s^{2/3}$ [13], а в случае вырожденного 2МЭГ, заполняющего одну подзону, $E_F - E_1 = n_s^{1/2}$, где $\gamma = qm^*/\pi\hbar^2$ — плотность состояний 2МЭГ в одной подзоне (m^* — эффективная масса электронов); $W_2 = (2x_2 \Delta\Phi_2 / qN_2)^{1/2}$ — ширина ОПЗ, соответствующая изгибу зоны проводимости у ГГ со стороны узкозонного материала. Для оценок будем считать, что для материала p -типа $\Delta\Phi_2 \approx E_{B2}$, а для n -типа $\Delta\Phi_2 \approx E_{B2}$ — боровская энергия мелкого водородоподобного донора.

Перепишем теперь (П. 1) в виде

$$[2N_1 x_1 (\Delta E_c - n_s \gamma^{-1} - \gamma n_s^{2/3})/q]^{1/2} = n_s + (2N_2 x_2 \Delta\Phi_2 / q)^{1/2}. \quad (\text{П. 3})$$

Видно, что, решив численно это уравнение, можно найти зависимость концентрации двумерных электронов от концентрации примеси в широкозонном и узкозонном слоях. Такой расчет был проведен для СЛГС $n\text{-Al}_x\text{Ga}_{1-x}\text{As}/p\text{-GaAs}$ при $x=0.2$ и 0.3 ($\Delta E_c = 1 \text{ эВ}\cdot\text{с}$, $\Delta\Phi_2 = 1.2 \text{ эВ}$, $\gamma = 1.1 \cdot 10^{-9} \text{ эВ}\cdot\text{см}^{1/3}$), а также

для СЛГС n -InP/ p -InGaAs ($\Delta E_c = 0.3$ эВ, $\Delta \Phi_2 = 0.85$ эВ [14], $\gamma = 1.25 \times 10^{-9}$ эВ·см $^{1/2}$). Для изотипной n - n -гетероструктуры оценка показывает, что при $n_s \geq 10^{11}$ см $^{-2}$ вторым слагаемым в правой части уравнения (II. 3) можно пренебречь практически при любых концентрациях N_2 .

Используя результаты такого расчета (рис. 2), необходимо представлять себе, что при $n_s > 7 \cdot 10^{11}$ см $^{-2}$, как правило, заполнены не одна, а две подзоны размерного квантования, кроме того, положение квантовых подзон определяется не только концентрацией электронов на ГГ, но и концентрацией заряженной примеси в слое узкозонного материала. Учет этих обстоятельств существенно усложняет процедуру расчета, однако, как показывают оценки, результат отличается от данных рис. 2 не более чем на несколько процентов, что позволяет для анализа использовать результаты, полученные без учета этих деталей.

Авторы признательны Ю. В. Шмарцеву за полезное обсуждение результатов работы, Ю. Ф. Бирюлину и В. В. Чалдышеву за инициирование работ по использованию изовалентного легирования для получения p -типа GaAs, В. В. Воробьевой и М. В. Егоровой за помощь при изготовлении экспериментальных образцов.

Л и т е р а т у р а

- [1] Drummond T. J., Masselink W. T., Morkoc H. — Proc. IEEE, 1986, v. 74, N 6, p. 773—822.
- [2] Chen C. Y., Cho A. Y., Bethea C. G. et al. — Appl. Phys. Lett., 1983, v. 42, N 12, p. 1040—1042.
- [3] Tsui D. C., Gossard A. C. — Appl. Phys. Lett., 1981, v. 38, N 4, p. 550—552.
- [4] Edwards P. P., Sienko M. I. — Phys. Rev. B, 1978, v. 17, N 6, p. 2575—2581.
- [5] Kastalsky A., Hwang J. C. M. — Appl. Phys. Lett., 1984, v. 44, N 3, p. 333—335.
- [6] Kamada H., Chinoyama S., Katsui A. — J. Appl. Phys., 1984, v. 55, N 8, p. 2881—2884.
- [7] Lanying L., Zhaoqiang F., Bojun Zh. et al. — J. Cryst. Growth, 1982, v. 56, N 3, p. 533—540.
- [8] Abrokawah J. K., Hilihell M. L., Borell G. E., Schulre D. K. — J. Electron. Mater., 1981, v. 10, N 4, p. 723—746.
- [9] Бирюлин Ю. Ф., Воробьева В. В., Голубев Л. В., Иванов-Омский В. И., Новиков С. В., Осутин А. В., Савельев И. Г., Чалдышев В. В., Шмарцев Ю. В., Ярошевич О. В. — ФТП, 1987, т. 21, в. 12, с. 2201—2209.
- [10] Лариков С. И., Петров А. И., Рычков О. В., Юнович А. Э. — Письма ЖТФ, 1986, т. 12, в. 6, с. 328—331.
- [11] Уфимцев В. Б., Акчурин Р. Х., Физико-химические основы жидкофазной эпитаксии. М., 1983. 224 с.
- [12] Волжков В. А., Галченяков Д. В., Гродненский И. М., Елинсон М. И., Старостин К. В. — ФТП, 1983, т. 17, в. 2, с. 288—293.
- [13] Delagebaudeuf D., Linh N. T. — IEEE Trans. Electron. Dev., 1982, v. ED-29, N 6, p. 955—960.
- [14] Temkin H., Panish M. B., Petroff P. M. et al. — Appl. Phys. Lett., 1985, v. 47, N 3, p. 394—396.

Физико-технический институт
им. А. Ф. Иоффе АН СССР
Ленинград

Получена 14.04.1988
Принята к печати 6.05.1988